

прессырования были выявлены у глазах с исходной миопией в 5—6 дптр.

У пациентов 2-й группы полная стабилизация рефракции или уменьшение ее на 0,25 дптр констатировано в 21 (58%) глазу. Прогрессирование миопии на 0,25 дптр было в 9 (25%) глазах и на 0,5 дптр — в 6 (17%) глазах. Усиления рефракции более чем на 0,5 дптр мы не наблюдали.

В контрольной группе статистически достоверное прогрессирование миопии зафиксировано в 73% случаев (58 глаз) на 0,25—1,5 дптр в течение 1,5 лет. Самопроизвольная стабилизация рефракции имела место в 27% случаев (22 глаза).

В обеих группах пациенты быстро овладели методикой профилактики, хорошо ее переносили, не отмечая каких-либо последствий закапывания холинолитиков перед сном на состояние зрачков и зрительную трудоспособность в течение последующего дня.

ВЫВОДЫ

1. Сочетанное курсовое применение инстилляций холинолитиков кратковременного действия (0,5% гоматропина или 0,5% мидрума) и препаратов, снижающих продукцию водянистой влаги (0,25% клофелина и 0,25% оптимола), позволяет активно влиять на формирование рефракции или прогрессирующую миопию слабой и средней степени.

2. Предложенный способ отличается достаточной эффективностью, безопасностью, предельной простотой, доступностью и воз-

можностью самостоятельного применения больными под контролем врача.

3. Показаниями к назначению являются случаи прогрессирования миопии слабой и средней степени у лиц молодого возраста с внутриглазным давлением выше 16 мм рт. ст. (2,1 кПа) по тонометру Гольдмана и 21 мм рт. ст. (2,8 кПа) по 5-граммовому тонометру Маклакова и слабостью аккомодации.

4. Недостаточная эффективность профилактики у части больных указывает на необходимость дальнейшего совершенствования метода, в частности на возможное увеличение частоты и продолжительности курсов, а в отдельных случаях и концентрации применяемых медикаментов.

ЛИТЕРАТУРА

1. Аветисов Э. С., Мац К. А. // В кн.: Материалы научной конференции по вопросам профилактики, патогенеза и лечения заболевания органа зрения у детей. — Москва, 1971.
2. Аветисов Э. С. // В кн.: Миопия. — М., 1974.
3. Гринштейн А. М., Попова А. А. // Вегетативные синдромы. — М., 1971.
4. Несторов А. П. // Казанский мед. ж.—1973.— № 3.— С. 81—82.
5. Несторов А. П., Бунин Л. Я., Каценельсон Л. А. // Внутриглазное давление. Физиология и патология. — М.: Наука, 1984.
6. Свирик А. В., Астраленко Г. Г., Лапочкин В. И. // В кн.: Физиология и патология внутриглазного давления. — М., 1983.— Вып. 9.— С. 134.
7. Сергиенко Н. Н., Кондратенко Ю. Н. // Вестн. офтальмол. — 1986.— № 6.— С. 20—23.

Поступила 26.II.87.

УДК 616.22—007.271—053.2—073.75

РЕНТГЕНОЛОГИЧЕСКАЯ ОЦЕНКА СТАДИИ СТЕНОЗА ГОРТАНИ ПРИ ОСТРОМ ЛАРИНГОТРАХЕИТЕ У ДЕТЕЙ

Р. У. Батыршин

Кафедра рентгенологии (зав.—проф. М. К. Михайлов), кафедра оториноларингологии (зав.—доц. В. И. Галочкин) Казанского института усовершенствования врачей имени В. И. Ленина

Острый ларинготрахеит с синдромом кroupa при респираторных вирусных инфекциях остается распространенным заболеванием у детей раннего возраста. Присоединение пневмонии усугубляет острую дыхательную недостаточность, вызванную стенозом горлани, что может привести к летальному исходу. Объективная оценка каждого компонента острой дыхательной недостаточности представляет собой сложную задачу при решении вопроса о выполнении трахеальной инкубации и трахеостомии.

Обычно определение стадии стеноза горлани основывается на данных физикальных исследований и главным образом на результатах прямой ларингоскопии [2, 3]. По нашему мнению, значительные возможности в

этом отношении имеет рентгенологическое обследование горлани, нашедшее широкое применение при других патологических процессах. В доступной литературе мы не обнаружили работ, посвященных рентгенографии горлани при остром ларинготрахеите. На рентгенограммах шеи в переднезадней проекции хорошо контурируется воздушный столб горлани и трахеи, что может стать основой для оценки стадии стеноза горлани. Наилучшие условия для исследования создаются в фазе фонации, когда наблюдается куполообразное расширение подскладкового пространства с накоплением в нем воздуха [1, 4].

В ЛОР-клинике Казанского ГИДУВа по нашему предложению с 1978 г. производят

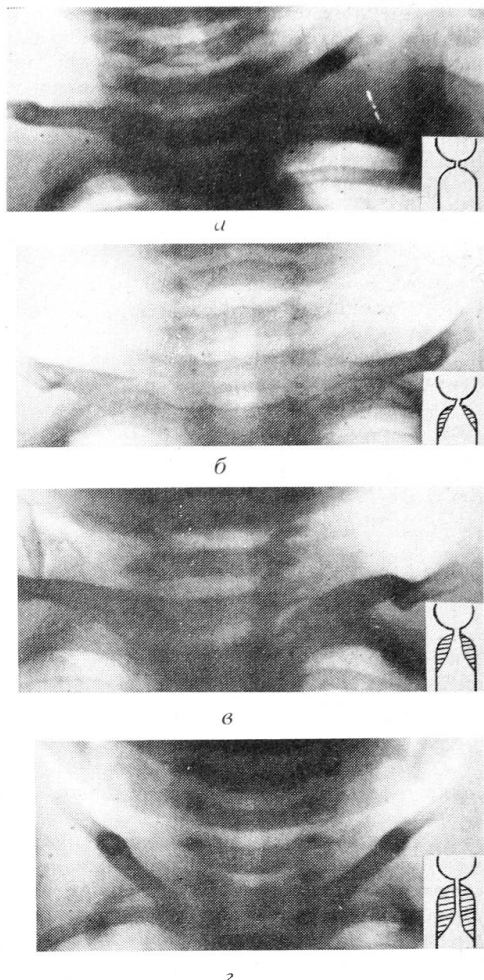
одномоментную рентгенографию органов грудной клетки и шеи у детей, страдающих острым ларинготрахеитом в сочетании с различными формами пневмонии. Методика позволяет при минимальной лучевой нагрузке получать на одной рентгенограмме сведения о состоянии легких и гортани. Рентгенографию производят в переднезадней проекции при вертикальном положении ребенка с приподнятым подбородком, в фазе фонации голосовых складок (в начале крика ребенка). Технические условия: аппарат РУМ-10, напряжение — 52 кВ, сила тока — 100 мА, время экспозиции — 0,06 с, фокусное расстояние — 100 см; центральный луч направляется на IV грудной позвонок.

Исследование проведено у 228 детей, у которых при клиническом обследовании было заподозрено наличие пневмонии, осложнявший течение острого ларинготрахеита. В возрасте от 8 мес до одного года было 46 детей, от одного года до 2 лет — 113, от 2 до 3 лет — 69. Клинически острая дыхательная недостаточность у 111 детей соответствовала I стадии стеноза гортани, у 104 — II, у 13 — III. Для сравнения была взята группа из 10 детей, страдавших пневмонией без сочетания с острым ларинготрахеитом.

На рентгенограммах изучали состояние легких и форму воздушного столба подскладкового отдела гортани, которая в норме представляет собой куполообразное расширение с четкими контурами (рис. 1 а). При наличии отека в подскладковом отделе гортани на рентгенограмме отмечается сглаженность углов между голосовыми складками и боковыми стенками подскладкового пространства. По выраженности деформации воздушного столба все больные были распределены на 3 группы. В 1-ю группу вошли больные (118 чел.) с небольшим сужением верхушки воздушного столба в пределах $\frac{1}{3}$ подскладкового пространства (рис. 1 б); во 2-ю (69) — с умеренным сужением в пределах $\frac{2}{3}$ подскладкового пространства (рис. 1 в); в 3-ю (13) — с резким сужением и образованием узкого хода (рис. 1 г).

Контуры деформированного воздушного столба просматриваются четкими при отечных и инфильтративных формах острого ларинготрахеита, неровными или расплывчатыми — при фибринозных наложениях на поверхности слизистой оболочки гортани и трахеи.

Сопоставление клинических и рентгенологических данных показало следующее. Из 111 детей с клинической картиной острой дыхательной недостаточности, соответствующей I стадии стеноза гортани, у 28 человек была пневмония с незначительными изменениями конфигурации воздушного столба подскладкового пространства. У 83 детей при отсутствии какой-либо патологии со стороны легких выявлено сужение верхушки воздушного столба в пределах $\frac{1}{3}$ под-



Рентгенограмма гортани и шейного отдела трахеи при различных стадиях стеноза: а — стеноза нет, б — стеноз I стадии, в — II стадии, г — III стадии.

складкового пространства. Из 104 детей с клинической картиной острой дыхательной недостаточности, соответствующей II стадии стеноза гортани, у 35 больных деформация воздушного столба на $\frac{1}{3}$ сочеталась с обширной пневмонией, и у 69 детей наблюдалась деформация воздушного столба на $\frac{2}{3}$ подскладкового пространства с умеренным очагом пневмонии. Из 13 детей с острой дыхательной недостаточностью, соответствующей III стадии стеноза гортани, у 10 отмечено максимальное сужение воздушного столба подскладкового пространства и поражение легких. У 3 детей было установлено только резкое сужение подскладкового отдела гортани при отсутствии данных за пневмонией.

Таким образом, в генезе острой дыхательной недостаточности у 62% обследованных с острым ларинготрахеитом респираторно-вирусной этиологии участвовали два компонента: сужение просвета гортани за счет отека и инфильтрации подскладкового отдела и пневмония.

При назначении комплексной интенсивной терапии учитывали выраженность стеноза гортани и пневмонии на рентгенограммах.

У 23 детей со значительным (на $\frac{2}{3}$ и более) сужением подскладкового пространства и пневмонией в связи с безуспешностью консервативной терапии была предпринята трахеостомия.

Полученные результаты позволяют сделать вывод, что одномоментная рентгено-

графия грудной клетки и шеи у детей с острым ларинготрахеитом помогает уточнить диагноз и обеспечивает прогноз при проведении лечебных мероприятий с учетом обоих компонентов острой дыхательной недостаточности — стеноза гортани и пневмонии.

ЛИТЕРАТУРА

1. Позмогов А. И. //Рентгенодиагностика заболеваний гортани.— Киев, 1973.
2. Солдатов И. Б., Митин Ю. В. //Вестн. оторинолар.— 1977.— № 5.— С. 83—87.
3. Тарасов Д. И., Лапченко С. Н., Банарь И. М., Попа В. А. //Стенозы и дефекты гортани и трахеи.— Кишинев, 1982.
4. Тихонов К. Б., Рабинович Р. М. //Рентгенодиагностика заболеваний гортани.— Л., Медицина, 1975.

Поступила 02.03.88.

УДК 616.24—002.1—072.7

ПОЛЯРОГРАФИЧЕСКАЯ АКТИВНОСТЬ ФИЛЬТРАТА ДЕНАТУРИРОВАННОЙ СЫВОРОТКИ КРОВИ И ВНЕШНЕЕ ДЫХАНИЕ ПРИ ОСТРОЙ ПНЕВМОНИИ

З. Н. Якупова, Р. Ф. Хамитов, В. Н. Воронин

Кафедра внутренних болезней лечебного факультета (зав.—доц. И. Г. Салихов) Казанского ордена Трудового Красного Знамени медицинского института имени С. В. Курашова

С целью дополнения новыми объективными данными существующего диагностического комплекса пневмонии и еесложнений, а также для контроля за ходом лечения и составления прогноза заболевания мы провели комплексное сравнительное исследование больных с применением полярографических и пневмотахографических методов.

Под наблюдением находились 56 больных острой пневмонией (мужчин — 36, женщин — 20) в возрасте от 15 до 66 лет (средний возраст — 41 год). У 15 (26,8%) больных пневмония была без осложнений, у 25 (44,6%) возникла на фоне хронического бронхита, у 5 (8,9%) осложнилась абсцедированием; у 4 (7,1%) был острый бронхит, у 3 (5,4%) обнаружены бронхокарциномы и метастазы рака в легкие, у 4 (7,2%) острая пневмония протекала на фоне обострения нелегочных соматических заболеваний. Контрольная группа состояла из 21 человека в возрасте от 16 до 24 лет.

Диагнозы ставили и уточняли на основании анамнеза, данных общеклинического, рентгенологического и лабораторных методов исследований, а также оценки функции внешнего дыхания (ФВД) на пневмотахографе с интегратором. Всем больным проводили антибиотикотерапию (чаще использовали препараты пенициллинового ряда), симптоматическую терапию, физиотерапевтические процедуры (исключение — онкологические больные). Средняя продолжитель-

ность пребывания в стационаре составила 21,6 койко-дней.

Наряду с общепринятыми клиническими методами, позволяющими оценивать тяжесть процесса, у больных определяли полярографическую активность сульфосалицилового фильтрата денатурированной сыворотки (ФДС) крови. Исследование выполняли на полярографе Ра-2 производства ЧССР по методике И. Д. Мансуровой и соавт. [3].

Качественный анализ абсолютных показателей спирограммы — жизненной емкости легких (ЖЕЛ), объема форсированного выдоха (ОФВ), максимальной вентиляции легких (МВЛ) и оценку относительных — теста Тиффно и показателя скорости движения воздуха (ПСДВ) выполняли путем соотношения с должностными величинами, вычисленными по соответствующим формулам [1], или исходя из разработанных нормативов [2].

Динамика изученных показателей механизмы дыхания и полярографической активности сыворотки крови больных при их поступлении в стационар и перед выпиской, а также данные контрольной группы представлены в табл. 1 и 2. Как видим, при поступлении все показатели были отклонены от нормы. При полярографическом исследовании, осуществленном до начала лечения, было выявлено увеличение высоты обеих каталитических волн — H_1 на 69,8% и H_2 на 30,7% (табл. 2). В период разрешения ост-